

УДК 621.383.5:537.312

©1994

**СПЕКТРЫ ПОВЕРХНОСТНОЙ ФОТОЭДС  
И ПОВЕРХНОСТНЫЕ СОСТОЯНИЯ GaAs(100)  
С СУБМОНОАТОМНЫМИ СЛОЯМИ ЦЕЗИЯ**

A.Л.Мусатов, С.Ю.Смирнов

Приведены спектры поверхностной фотоэдс при  $h\nu < E_g$  для GaAs(100) *n*- и *p*-типов после термической очистки поверхности полупроводника в сверхвысоком вакууме и после нанесения при  $T \approx 150$  К субмоноатомных слоев цезия. Из анализа спектров сделан вывод, что адсорбция Cs на GaAs вызывает появление в запрещенной зоне GaAs как дородных, так и дефектных поверхностных состояний. Энергия донорных поверхностных уровней относительно верха валентной зоны при концентрации Cs на поверхности GaAs менее 0.5 монослоя равна 0.75–0.9 эВ, а при увеличении количества Cs до 1 монослоя уменьшается до 0.5–0.6 эВ. Энергия дефектных поверхностных состояний равна 0.5 эВ относительно верха валентной зоны.

Проблема формирования барьера Шоттки на границе полупроводник–металл уже много лет привлекает большое внимание исследователей [1–6]. В случае атомно-чистой поверхности GaAs и InP важную роль в процессе закрепления уровня Ферми на границе полупроводник–металл играют поверхностные состояния (ПС), возникающие в запрещенной зоне полупроводника при адсорбции атомов металлов. Такие ПС были обнаружены на GaAs и InP методом поверхностной фотоэдс [5,7,8] и катодолюминесценции [6]. Настоящая работа посвящена исследованию ПС, возникающих при адсорбции субмоноатомных и моноатомных слоев Cs на атомно-чистую поверхность GaAs(100). Атомы цезия не реагируют с поверхностью GaAs, и среди всех металлов Cs обладает минимальной тенденцией к образованию кластеров на поверхности GaAs [9]. Эти свойства делают границу GaAs–Cs идеальной модельной системой для таких исследований. В данной работе для исследования ПС использовался метод поверхностной фотоэдс. Представлены спектры фотоэдс для чистой поверхности GaAs и после нанесения атомов Cs. Показано, что нанесение Cs приводит к образованию в запрещенной зоне GaAs новых пустых и заполненных ПС. Определена энергия их ионизации.

### 1. Метод исследований и методика эксперимента

Поверхностная фотоэдс в полупроводниках возникает вследствие разделения на поверхностном барьеере электронов и дырок, возбужденных светом. При освещении полупроводника в области собственного

поглощения поверхностная фотоэдс связана с генерацией светом свободных электронов и дырок. Освещение полупроводника в длинноволновой области спектра ( $h\nu < E_g$ ) вызывает поверхностную фотоэдс, связанную с оптической генерацией электронов или дырок с ПС [10,11]. Знак такой фотоэдс соответствует уменьшению поверхностного изгиба зон. При этом в случае полупроводников *n*-типа фотоэдс определяется генерацией электронов с заполненных ПС в зону проводимости, а для полупроводников *p*-типа — генерацией дырок с пустых ПС в валентную зону [11]. Таким образом, на спектрах фотоэдс имеются коротковолновая часть, порог которой определяется шириной запрещенной зоны полупроводника, и длинноволновая часть, порог которой в случае дискретных ПС соответствует энергии ионизации ПС. Исследование спектров поверхностной фотоэдс в длинноволновой области спектра ( $h\nu < E_g$ ) позволяет определить энергию ионизации и сечение fotoионизации ПС.

Величина поверхностной фотоэдс в режиме холостого хода равна [12,13]

$$V_\Phi = \frac{kT}{e} \ln \left( \frac{I_\Phi}{I_0} + 1 \right), \quad (1)$$

где  $I_\Phi$  — фототок,  $I_0$  — ток насыщения поверхностно-барьерного диода,  $e$  — заряд электрона. Для малого сигнала ( $V_\Phi \ll kT/e$ ,  $I_\Phi \ll I_0$ ) получим

$$V_\Phi = \frac{kT}{e} \frac{V_\Phi}{I_0}. \quad (2)$$

В области собственного оптического поглощения ( $h\nu > E_g$ ) фотоэдс  $V_\Phi^c$  равна

$$V_\Phi^c = \frac{kT}{e} \frac{eW\beta}{h\nu I_0 (1 + 1/\alpha L)}, \quad (3)$$

где  $W$  — интенсивность падающего излучения,  $\beta$  — квантовый выход внутреннего фотоэффекта ( $\beta \approx 1$ ),  $\alpha$  — коэффициент оптического поглощения,  $L$  — длина диффузии неосновных носителей. Вдали от порога собственного оптического поглощения, когда  $\alpha L \gg 1$ , получаем

$$V_\Phi^c = \frac{kT}{e} \frac{eW}{h\nu I_0}. \quad (4)$$

В длинноволновой области спектра ( $h\nu < E_g$ ), где фотоэдс определяется генерацией электронов или дырок в ПС, фотоэдс  $V_\Phi^n$  равна

$$V_\Phi^n = \frac{kT}{e} \frac{eW}{h\nu} \frac{N_{ss}\sigma_\Phi}{I_0}. \quad (5)$$

Здесь  $N_{ss}$  — плотность поверхностных состояний,  $\sigma_\Phi$  — сечение fotoионизации ПС. Из выражения (5) следует, что фотоэдс  $V_\Phi^n$  определяется не только параметрами ПС  $N_{ss}$  и  $\sigma_\Phi$ , но и током поверхностно-барьерного диода  $I_0$ , который зависит от высоты поверхностного ба-

рьера. Эту зависимость можно исключить, нормируя фотоэдс в длинноволновой области спектра на величину фотоэдс в области собственного поглощения. При этом из выражения (4) и (5) получим

$$\frac{V_{\Phi}^{\text{n}}}{V_{\Phi}^{\text{c}}} = KN_{ss}\sigma_{\Phi}, \quad (6)$$

$$K = \frac{W_{\text{n}}\nu_c}{\nu_{\text{n}}W_c}.$$

Как видно из выражения (6), величина  $V_{\Phi}^{\text{n}}/V_{\Phi}^{\text{c}}$  определяется произведением концентрации ПС  $N_{ss}$  на их сечение fotoионизации  $\sigma_{\Phi}$ . В случае, если фотоэдс рассчитана на число падающих фотонов,  $V_{\Phi}^{\text{n}}/V_{\Phi}^{\text{c}} = n_{ss}\sigma_{\Phi}$ .

Поверхностная фотоэдс измерялась методом электронного пучка [14], при котором поверхность образца облучается пучком медленных электронов с энергией  $\sim 1$  эВ и освещается модулированным светом с частотой  $\omega$ . Возникновение фотоэдс приводит к сдвигу ВАХ электронного тока на образец. Это вызывает изменение электронного тока в цепи образца, что регистрируется по изменению напряжения на нагрузочном сопротивлении. Сигнал на нагрузочном сопротивлении  $R_h$  на частоте  $\omega$  равен

$$V_h(\omega) = V_{\Phi}(\omega)R_h \frac{\partial I(V)}{\partial V}, \quad (7)$$

где  $I(V)$  — ток электронного пучка на образец,  $V_{\Phi}(\omega)$  — фотоэдс. Отсюда для поверхностной фотоэдс получаем

$$V_{\Phi}(\omega) = \frac{V_h(\omega)}{R_h(\partial I / \partial V)}. \quad (8)$$

Исследования спектров поверхностной фотоэдс проводились в сверхвысоком вакууме ( $p \sim 10^{-10}$  мм рт. ст.) на эпитаксиальных пленках GaAs(100) при низкой температуре ( $\sim 150$  К). Эпитаксиальные пленки GaAs  $n$ -типа ( $n = 1 \div 2 \cdot 10^{16} \text{ см}^{-3}$ ) толщиной 4 мкм были выращены на  $n^+$ -GaAs(100) подложке, а эпитаксиальные пленки GaAs  $p$ -типа ( $p = 4 \cdot 10^{16} \text{ см}^{-3}$ ) толщиной 3 мкм были выращены на  $p^+$ -GaAs(100) подложке. Омический контакт был сделан с задней поверхности образцов. Поверхность эпитаксиальных пленок очищалась химическим травлением в растворе HCl в изопропиловом спирте и затем прогревом в сверхвысоком вакууме. После очистки поверхности образцы охлаждались до температуры  $\sim 150$  К, затем проводились нанесение цезия и измерения спектров поверхностной фотоэдс. В качестве источника Cs использовался стандартный канальный источник на основе хромата цезия.

Поверхностная фотоэдс измерялась на частоте 9.8 Гц селективным усилителем с синхронным детектором. При этом образец облучался

монохроматическим излучением в области длин волн 0.6–1.8 мкм. Интенсивность излучения  $10^{13}$ – $10^{15}$  фотон/ $\text{см}^2 \cdot \text{с}$ . Плотность электронного тока  $\sim 10^{-7}$  А/ $\text{см}^2$ . Для устранения рассеянного света при измерениях в длинноволновой области спектра ( $h\nu < 1.38$  эВ) использовался фильтр из полированного GaAs с пропусканием около 40%. Метод электронного пучка позволял также определять изменение работы выхода GaAs при нанесении Cs. Мы использовали эту возможность для калибровки источника цезия. При этом в соответствии с результатами работ [15, 16] мы полагали, что минимум работы выхода системы GaAs(100)–Cs соответствует слою Cs толщиной 0.5 монослоя.

## 2. Результаты измерений и их обсуждение

1) Спектры поверхности фотоэдс. Спектры поверхности фотоэдс GaAs состояли из коротковолновой ( $h\nu > E_g$ ) и длинноволновой ( $h\nu < E_g$ ) частей (кроме чистой поверхности  $n\text{-GaAs}$ , где фотоэдс при  $h\nu < E_g$  отсутствовала). Спектры поверхностей фотоэдс в длинноволновой области спектра ( $h\nu < E_g$ ) для  $n\text{-GaAs}(100)$  и  $p\text{-GaAs}(100)$  после термической очистки поверхности полупроводника в сверхвысоком вакууме и после нанесения атомов Cs приведены на рис. 1, 2. Нанесение Cs и все измерения фотоэдс проводились при низкой температуре ( $T \approx 150$  К). Все спектры были рассчитаны на число падающих фотонов и нормированы на величину фотоэдс в собственной области спектра ( $h\nu = 1.55$  эВ), т.е. на рис. 1, 2 представлены зависимости  $V_\Phi(h\nu)/V_\Phi(1.55) = f(h\nu)$ . Из выражения (6) следует, что отношение  $V_\Phi(h\nu)/V_\Phi(1.55)$  в этом случае равно произведению сечения фотоионизации на концентрацию поверхностных состояний  $N_{ss}$ ,  $V_\Phi(h\nu)/V_\Phi(1.55) = \sigma_\Phi(h\nu)N_{ss}$ .

Для поверхности  $n\text{-GaAs}$ , приготовленной термической очисткой, сигнал в длинноволновой области спектра ( $h\nu < E_g$ ) отсутствует. Это означает, что для такой поверхности концентрация заполненных поверхностных состояний в запрещенной зоне GaAs мала, ниже чувствительности нашей измерительной системы. Нанесение Cs на поверхность  $n\text{-GaAs}$  приводит к появлению поверхностной фотоэдс в длинноволновой области спектра  $h\nu < 1.35$  эВ (рис. 1). Так как нанесение Cs и исследования спектров проводились при низкой температуре, то можно пренебречь диффузией атомов Cs в объем полупроводника и сделать вывод, что возникновение фотоэдс в длинноволновой области спектра для  $n\text{-GaAs}$  связано с образованием новых заполненных поверхностных состояний в запрещенной зоне GaAs.

В отличие от образцов  $n$ -типа для  $p\text{-GaAs}$  после термической очистки поверхности в области спектра  $h\nu < 1.35$  эВ имеется заметный отклик, определяющийся генерацией дырок с пустых ПС, связанных с дефектами или остаточными поверхностными примесями (рис. 2, кривая 1). Нанесение субмоноатомных слоев цезия на  $p\text{-GaAs}$  приводит к резкому изменению формы спектральной характеристики поверхностной фотоэдс в длинноволновой области спектра (рис. 2, кривые 2–4). Это указывает на появление в запрещенной зоне новых пустых ПС с другой энергией ионизации  $E_i$ .

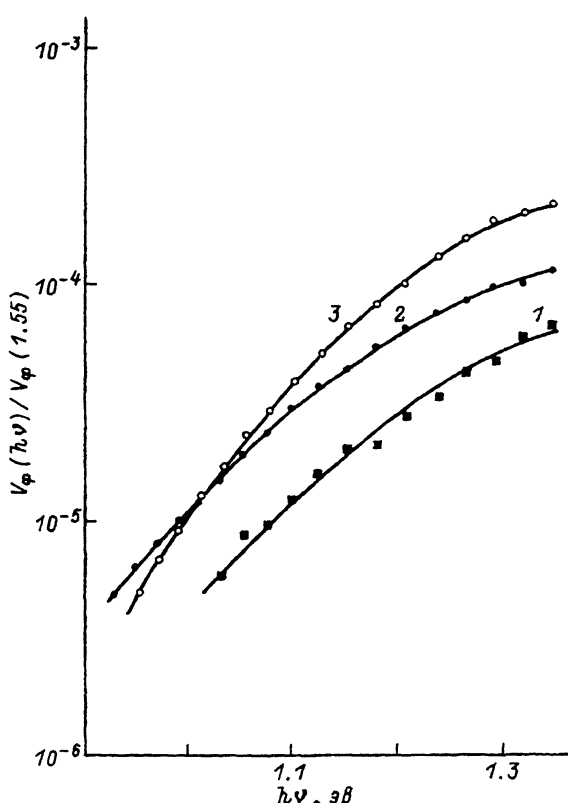


Рис. 1. Спектры поверхности фотоэдс  $n$ -GaAs(100) в области энергии фотонов  $h\nu < E_g$  после нанесения слоев цезия толщиной 0.15 (1), 0.4 (2) и 0.7 (3) монослоев.

Спектры нормированы на величину фотоэдс при  $h\nu = 1.55$  эВ.

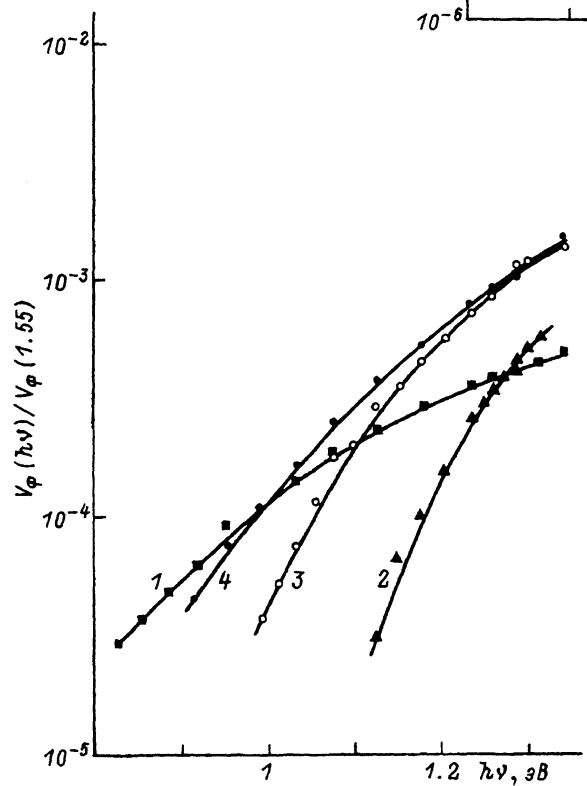


Рис. 2. Спектры поверхности фотоэдс  $p$ -GaAs(100) в области энергии фотонов  $h\nu < E_g$  после термической очистки поверхности в сверхвысоком вакууме (1) и после нанесения слоев цезия толщиной 0.3 (2), 0.5 (3) и 0.7 (4) монослоев.

Спектры нормированы на величину фотоэдс при  $h\nu = 1.55$  эВ.

2) Определение энергии ионизации ПС. Следуя [2-4], мы полагали, что поверхностные состояния, введенные при адсорбции Cs, характеризуются одним дискретным уровнем в запрещенной зоне. Тогда энергия ионизации этого уровня  $E_i$  может быть определена анализом экспериментальной зависимости  $V_\phi(h\nu) \sim \sigma_\phi(h\nu)$ . Для такого анализа необходимо знать теоретическую зависимость сечения фотоионизации  $\sigma_\phi(h\nu)$  для ПС. Мы не знаем расчетов  $\sigma_\phi(h\nu)$  для поверхностных уровней и использовали для анализа наших экспериментальных данных модель Ридли [17] для объемных глубоких примесных центров. Согласно этой модели, сечение фотоионизации для перехода электронов с примесного уровня в зону проводимости описывается выражением

$$\sigma_\phi \sim \frac{(h\nu - E_i)^{3/2}}{h\nu}. \quad (9)$$

Пример аппроксимации спектров фотоэдс выражением (9) приведен на рис. 3, где представлены экспериментальная зависимость  $V_\phi(h\nu)$  при  $g\nu < E_g$  для  $n$ -GaAs при адсорбции 0.3 монослоев Cs и теоретическая зависимость (9). Величина  $E_i$  определялась с помощью компьютера методом наименьших квадратов и равна в данном случае  $E_i = 0.95$  эВ, что соответствует ПС, лежащим на  $\sim 0.5$  эВ выше верха валентной зоны. Как видно на рис. 3, экспериментальная кривая имеет длинноволновой экспоненциальный хвост, который не описывается формулой (9). Аналогичный эффект наблюдается также для случая объемных глубоких примесей и связывается с влиянием фононов и сильного электрического поля [17]. Последний эффект, по-видимому, особенно важен для поверхностных примесей, поскольку вблизи поверхности всегда существует сильное электрическое поле величиной  $\sim 10^4 \div 10^5$  В/см, связанное с изгибом зон на поверхности. Следует отметить, что экспериментальные зависимости  $V_\phi(h\nu)$  хорошо аппроксимируются с помощью формулы (9) только при концентрации Cs 0.3-0.5 монослоя. При меньшей и большей (до 1.5 монослоя) концентрации Cs экспоненциальный хвост на зависимости  $V_\phi(h\nu)$  увеличивается, что затрудняет определение  $E_i$ . Причина этого эффекта в настоящее время не ясна и может быть связана с более сильным влиянием фононов на процесс фотоионизации при данной концентрации цезия.

Спектральные характеристики поверхностной фотоэдс в случае  $p$ -GaAs не удалось описать формулой (9), которая была получена Ридли для фотоионизации нейтрального примесного центра. Мы предположили, что пустые ПС, дающие вклад в фотоэдс на  $p$ -GaAs, после фотоионизации дырки остаются положительно заряженными, т.е. являются отталкивающими центрами. В этом случае в формулу для сечения фотоионизации нужно ввести зоммерфельдовский множитель [17]. Мы получим следующее выражение для  $\sigma_\phi$ :

$$\sigma_\phi \sim \frac{h\nu - E_i}{h\nu} \exp \left[ -\frac{\pi |Z| \sqrt{2m^* e^2}}{\kappa \hbar (h\nu - E_i)^{1/2}} \right]. \quad (10)$$

Здесь  $|Z|$  — зарядность центра после ионизации,  $m^*$  — эффективная масса,  $\kappa$  — диэлектрическая проницаемость.

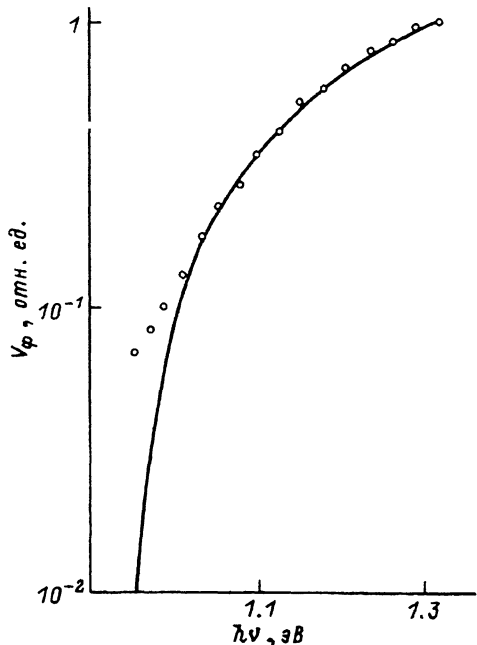


Рис. 3. Экспериментальный спектр поверхностной фотоэдс при  $h\nu < E_g$  для  $n$ -GaAs(100) после нанесения 0.3 монослоев Cs (точки) и теоретическая кривая, рассчитанная по формуле (9) для  $E_i = 0.95$  эВ.

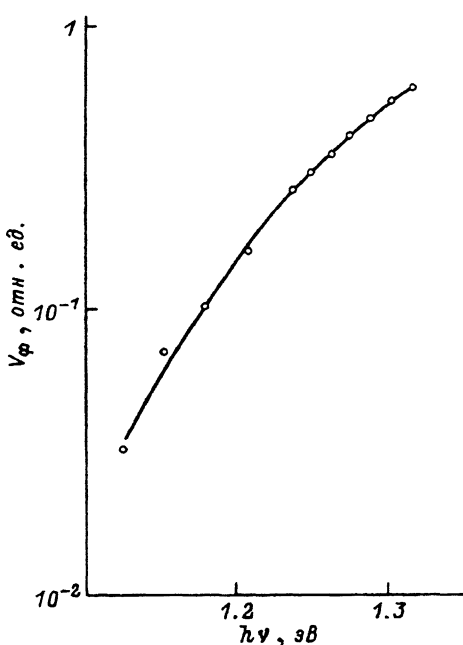


Рис. 4. Экспериментальный спектр поверхностной фотоэдс при  $h\nu < E_g$  для  $p$ -GaAs(100) после нанесения 0.3 монослоев Cs (точки) и теоретическая кривая, рассчитанная по формуле (10) для  $m^* = m_0$ ,  $|Z| = 2$ ,  $E_i = 0.9$  эВ.

Спектральные характеристики поверхностной фотоэдс в длинноволновой области спектра как для чистой поверхности  $p$ -GaAs, так и при нанесении на  $p$ -GaAs слоя Cs толщиной до  $\sim 2$  монослоев удалось аппроксимировать выражением (10) при  $m^* = m_0$ ;  $|z| = 2$  или 3. В качестве примера такой аппроксимации на рис. 4 приведены экспериментальная зависимость  $V_\phi(h\nu)$  при  $h\nu < E_g$  для  $p$ -GaAs при адсорбции 0.3 монослоя Cs и теоретическая зависимость (10) с  $m^* = m_0$  и  $|Z| = 2$ . Величина  $E_i$  определялась с помощью компьютера методом наименьших квадратов и равна в данном случае  $E_i = 0.9$  эВ. Подчеркнем, что для образцов  $p$ -типа поверхностная фотоэдс связана с фотоионизацией дырок в валентную зону, так что энергия ионизации  $E_i$  равна энергии ПС относительно верха валентной зоны.

3) Анализ спектров поверхностной фотоэдс. Анализ спектральных характеристик поверхностной фотоэдс на  $p$ -GaAs (рис. 2) с помощью выражения (10) показал, что энергия ионизации пустых ПС, присутствующих на чистой поверхности GaAs, равна  $E_i \approx 0.5$  эВ, т.е. эти ПС расположены на 0.5 эВ выше верха валентной зоны, по-видимому, непосредственно над уровнем Ферми [18]. После адсорбции слоя Cs толщиной  $\sim 0.1 \div 0.3$  монослоя порог фотоэдс на  $p$ -GaAs смещается в коротковолновую область, что указывает на исчезновение этих пустых ПС с энергией  $E \approx 0.5$  эВ. При адсорбции

такого же количества Cs на  $n$ -GaAs появляется поверхностная фотоэдс с порогом  $h\nu_0 \approx 0.95$  эВ, что соответствует возникновению заполненных ПС с энергией ионизации  $E_0 \approx 0.95$  эВ, т.е. расположенных при той же энергии ( $E \approx 0.5$  эВ) относительно верха валентной зоны, что и пустые ПС на чистой поверхности  $p$ -GaAs. Возникновение заполненных ПС на месте пустых может быть связано с перестройкой поверхности GaAs после нанесения Cs. Однако, по нашему мнению, более вероятно, что пустые ПС с энергией  $E \approx 0.5$  эВ становятся заполненными после адсорбции Cs за счет перехода на них электронов с донорных уровней, индуцированных адсорбцией Cs, которые лежат в запрещенной зоне GaAs при более высокой энергии. После такого электронного перехода эти донорные состояния становятся пустыми и дают вклад в поверхностную фотоэдс на  $p$ -GaAs. Анализ спектра поверхностной фотоэдс для  $p$ -GaAs после адсорбции  $\sim 0.1 \div 0.3$  монослоя Cs позволил определить энергию ионизации этого донорного уровня, которая оказалась равной 0.75–0.9 эВ для разных образцов.

Следует отметить, что резкий сдвиг порога спектра фотоэдс на  $p$ -GaAs наблюдается уже при нанесении 0.1 монослоя Cs. Это означает, что уже при адсорбции такого количества Cs дефектные ПС при  $E = 0.5$  эВ относительно верха валентной зоны полностью заполнены. Если бы концентрация дефектных ПС не менялась при адсорбции цезия, то величина фотоэдс на  $n$ -GaAs–Cs, связанная с фотоионизацией заполненных дефектных ПС, не должна была бы увеличиваться при увеличении количества Cs более 0.1 монослоя. Однако это не так. На рис. 5 представлены зависимости от количества Cs величины фотоэдс при  $h\nu = 1.24$  эВ, нормированной на  $V_\Phi$  в собственной области спектра ( $h\nu = 1.55$  эВ) для  $n$ -GaAs и  $p$ -GaAs, т.е. зависимости

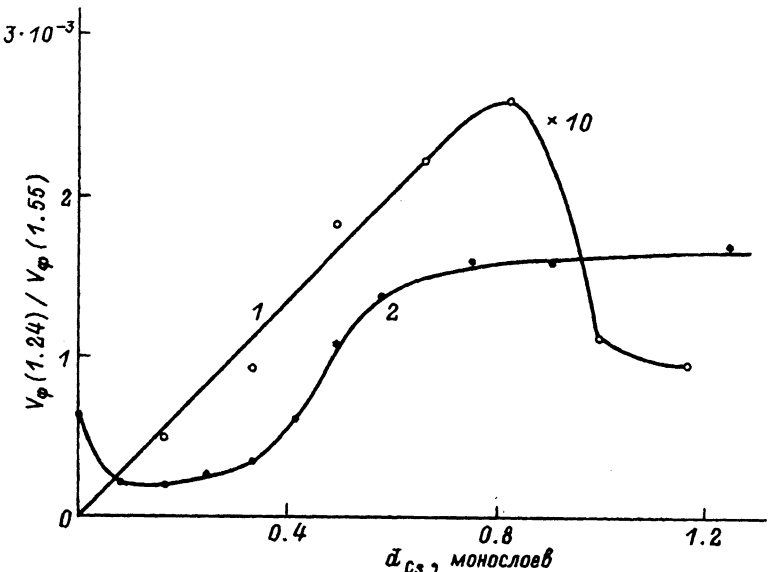


Рис. 5. Зависимости величины поверхностной фотоэдс на GaAs(100)–Cs при  $h\nu = 1.24$  эВ от толщины слоя цезия (в монослоях).

1 —  $n$ -тип, 2 —  $p$ -тип. Характеристики нормированы на величину фотоэдс при  $h\nu = 1.55$  эВ.

$V_\phi(1.24)/V_\phi(1.55) = f(d_{Cs})$ . Как видно из рис. 5 (кривая 1), величина фотоэдс на  $n$ -GaAs линейно зависит от количества адсорбата вплоть до толщины  $\sim 0.6 \div 0.7$  монослоя. Поскольку фотоэдс в данном случае связана с генерацией электронов с дефектных уровней, компенсированных донорами, то следует предположить, что нанесение Cs приводит не только к образованию новых донорных, но и дополнительных дефектных уровней. К аналогичному выводу пришли авторы работы [9] для GaAs(110)-Cs.

Увеличение количества Cs на GaAs более 0.3–0.4 монослоя вызывает сдвиг порога фотоэдс на  $p$ -GaAs вновь в длинноволновую область спектра (рис. 2). Поскольку в данном случае фотоэдс связана с возбуждением дырок с пустых донорных уровней, это означает, что энергия этих донорных уровней относительно верха валентной зоны уменьшается, вероятно, за счет взаимодействия атомов Cs. При толщине слоя цезия около 1 монослоя порог фотоэдс на  $p$ -GaAs-Cs и, следовательно, энергия ионизации данных уровней достигает 0.5–0.6 эВ, т.е. почти сравнивается с энергией дефектных уровней.

Как видно из рис. 5, при концентрации Cs до  $\sim 0.7$  монослоя наблюдается линейное соотношение между величиной  $V_\phi(1.24)/V_\phi(1.55) = \sigma_\phi N_{ss}$  для  $n$ -GaAs и толщиной слоя Cs. По нашему мнению, это линейное соотношение соответствует постоянной величине сечения фотоионизации  $\sigma_\phi$  и прямой пропорциональности между плотностью поверхностных состояний  $N_{ss}$  и количеством адсорбированного цезия  $N_{Cs}$ . Если считать, согласно [9], что каждому атому Cs соответствует одно донорное состояние и, следовательно, одно компенсированное дефектное ПС, и принять, что один монослой содержит  $\sim 6 \cdot 10^{14} \text{ см}^{-2}$  атомов Cs [16], то из наших экспериментальных данных и формулы (6) можно оценить величину сечения фотоионизации  $\sigma_\phi$ . Мы получили, что при  $h\nu = 1.24 \text{ эВ}$   $\sigma_\phi \sim 10^{-18} \text{ см}^{-2}$ . При увеличении количества Cs более  $\sim 0.7$  монослоя величина  $V_\phi(1.24)/V_\phi(1.55)$  для  $n$ -GaAs уменьшается и выходит на насыщение. По-видимому, это означает, что дальнейшее увеличение количества Cs более не приводит к образованию новых ПС, а сечение фотоионизации уменьшается из-за взаимодействия между атомами Cs.

Зависимость  $V_\phi(1.24)/V_\phi(1.55) = f(d_{Cs})$  для  $p$ -GaAs более сложная и связана, вероятно, не только с изменением концентрации пустых ПС, но и их сечение фотоионизации прежде всего из-за изменения порога фотоэдс и энергии ПС.

Проведенные эксперименты, по нашему мнению, позволяют сделать вывод, что нанесение Cs на поверхность GaAs(100) приводит к образованию как донорных, так и дефектных ПС в запрещенной зоне полупроводника. Энергия донорных поверхностных уровней относительно верха валентной зоны при концентрации Cs менее 0.5 монослоя равна 0.75–0.9 эВ, а при увеличении количества Cs до 1 монослоя энергия уменьшается до 0.5–0.6 эВ. Энергия дефектных ПС, возникающих при адсорбции Cs, соответствует энергии пустых дефектных уровней на чистой поверхности GaAs и равна 0.5 эВ.

4) Металлизация пленок Cs на GaAs. В последние годы большой интерес вызывает процесс возникновения металлической

проводимости (металлизации) в моноатомных пленках атомов металлов, нанесенных на атомно-чистую поверхность GaAs (см., например, [9, 19, 20]). При этом в качестве критериев возникновения металлизации используют совпадение уровня Ферми с краем фотоэлектронного спектра таких пленок, а также появление на фотоэлектронных спектрах пикиков, соответствующих плазмонным потерям. На основе наших исследований поверхностной фотоэдс мы предлагаем другой критерий металлизации пленок на поверхности полупроводников: резкое падение величины поверхностной фотоэдс в области собственного поглощения на образцах *n*- и *p*-типов. Действительно, если пленка наносится на полупроводник без маски, как в наших экспериментах с Cs, то возникновение металлической проводимости может закоротить поверхность с держателем образца или с омическим контактом и вызвать резкое падение величины фотоэдс.

Этот эффект наблюдался в наших экспериментах и иллюстрируется рис. 6, где приведены зависимости поверхностной фотоэдс при  $h\nu = 1.55$  эВ от толщины пленки Cs для *n*- и *p*-типов. Как видно из рис. 6, при толщине слоя Cs около 1 монослоя наблюдается максимум фотоэдс, связанный, вероятно, с увеличением поверхностного барьера. Дальнейшее увеличение толщины слоя Cs приводит к резкому падению

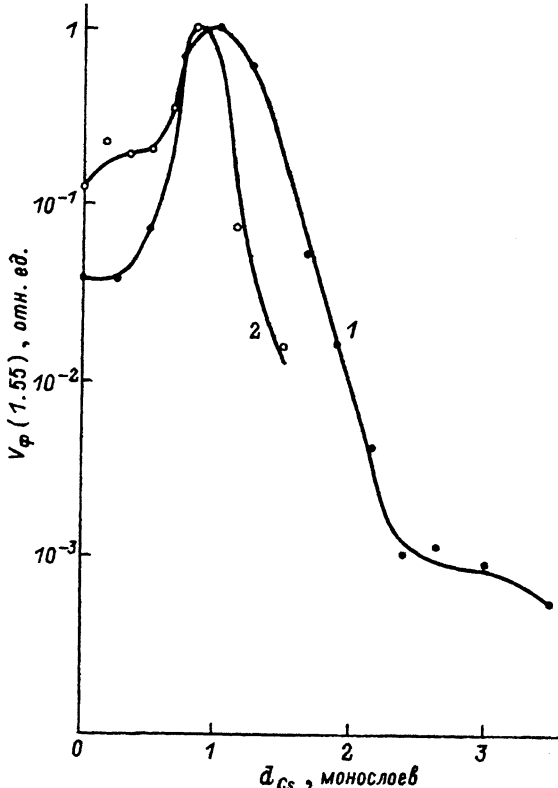


Рис. 6. Зависимости величины поверхностной фотоэдс на GaAs(100)-Cs при  $h\nu = 1.55$  эВ от толщины слоя цезия (в монослоях).  
1 — *n*-тип, 2 — *p*-тип. Характеристики нормированы на максимум величины фотоэдс.

сигнала на 2–3 порядка величины. Мы полагаем, что наблюдаемое уменьшение поверхностной фотоэдс связано с возникновением металлической проводимости в пленке Cs и закорачиванием приповерхностной области полупроводника, где возникает фотоэдс. Из этих данных следует, что металлизация наступает при толщине пленки Cs на GaAs(100), равной 2 монослоям. Этот результат согласуется с результатами работы [9], где металлизация пленки Cs на GaAs(110) при низкой температуре также наблюдалась при 2 монослоях цезия.

### Список литературы

- [1] Brillson L.J. // Surf. Sci. Rep. 1982. V. 2. N 2. P. 123–326.
- [2] Spicer W.E., Kendelewicz T., Newman N. et al. // Appl. Surf. Sci. 1988. V. 33/34. P. 1009–1029.
- [3] Monch W. // J. Vac. Sci. Technol. 1988. V. B6. N 4. P. 1270–1276.
- [4] Klepeis J.E., Harrison W.A. // J. Vac. Sci. Technol. 1989. V. B7. N 4. P. 964–970.
- [5] Shapira Y., Brillson L.J., Heller A. // Phys. Rev. B. 1984. V. 29. N 12. P. 6824–6832.
- [6] Viturro R.E., Shaw J.L., Brillson L.J. et al. // J. Vac. Sci. Technol. 1988. V. B6. N 4. P. 1397–1402.
- [7] Мусатов А.Л., Гейзер С.В. // ФТТ. 1991. Т. 3. № 1. С. 124–128.
- [8] Musatov A.L., Smirnov S.Yu. // Surf. Sci. 1992. V. 269/270. P. 1048–1053.
- [9] Cao R., Miyano K., Kendelewicz T. // Phys. Rev. B. 1989. V. 39. N 17. P. 12655–12663.
- [10] Остроумова Е.В. // ФТП. 1969. Т. 3. № 7. С. 1095–1097.
- [11] Gatos H.C., Lagowski J. // J. Vac. Sci. Technol. 1973. V. 10 N 1. P. 130–135.
- [12] Бонч-Бруевич В.Л., Калашников С.Г. Физика полупроводников. М., 1977. 672 с.
- [13] Зи С. Физика полупроводниковых приборов. Т. 2. М.: Мир, 1984.
- [14] Стейнриссер Ф., Хетрик Р.Е. // Приборы для научных исследований. 1971. № 3. С. 14–18.
- [15] Goldstein B., Szostak D. // Appl. Phys. Lett. 1975. V. 26. N 3. P. 111–113.
- [16] Kamaratos M., Bauer E. // J. Appl. Phys. 1991. V. 70. N 12. P. 7564–7572.
- [17] Ridley B.K. // J. Phys. C: Solid St. Phys. 1980. V. 30. N 10. P. 2015–2026.
- [18] Lay G.L., Mao D., Kahn A. et al. // Phys. Rev. B. 1991. V. 43. N 7. P. 14301–14304.
- [19] Pretisch M., Domke M., Laubschat et al. // Phys. Rev. Lett. 1988. V. 60. N 5. P. 436–439.
- [20] Stiles K., Kahn A. // Phys. Rev. Lett. 1988. V. 60. N 5. P. 440–443.

Институт радиотехники  
и электроники РАН  
Фрязино  
Московская область

Поступило в Редакцию  
29 января 1993 г.